

8.4 傾心傾斜した支持力の考察

名古屋大学工学部 正員 市原松平

K.K.鶴池組 正員 伊藤克彦

○ 名古屋大学工学部 正員 福田勇治

1. 概 説

偏心傾斜荷重に対する基礎地盤の支持力について、以下の示す実験装置を用いて計測した実測値と、二、三の極限支持力の算定法による計算値との比較を行はん。

2. 実験装置ならびに実験方法とその実験結果

写真-1に示す二つのすべり出し抵抗測定装置で実験した。もかつて右が分力方式で、荷重を載荷板に分力の形で加える。鉛直荷重△はここで最大800kgまで、水平荷重は載荷板をワイヤーロープで引き300kgまで加えらるこができる。載荷板の下部の砂層がせん断破壊をひきおこす場合にてこは載荷板と一緒に水平に動くようになつてゐる。もかつて左が合力方式で、これで載荷板に任意の角度をなす荷重合力を作らせらるこができる。両装置とも砂槽の大ささは15cm×50cm×100cmで、載荷板の下の砂層が平面ひずみ状態を保持できるように砂槽には十分の剛性をもたせてある。載荷板は主として底面積 $B \times L = 10\text{cm} \times 15\text{cm}$ のものを用いた。載荷板底面の底面反力合力の着力点の偏心距離は $e = \frac{1}{6}B$, $e = 0$, $e = -\frac{1}{6}B$ の場合を行はん。使用した砂の有効径は0.67mm, 均等係数は2.5で、密な状態($\gamma = 1.65\text{kN/m}^3$)で実験した。砂とガラス面との摩擦係数 $\mu = 0.131$ で、内部摩擦角は直接せん断試験では $\phi = 45^\circ$, 三軸圧縮試験では $\phi = 36^\circ$ であつた。

フルジモフ土楔ならびにすべり面の観察を行はうために、写真機をもれ載荷板に固定して撮影を行はつた。結果の一部は写真-2に示された。フルジモフ土楔の一例を $e = 0$ の場合に図示すると図-1のようになる。

実測値に対する砂槽の壁面摩擦の補正量は偏心量 e と破壊荷重傾斜角度 δ' によって異なるが、平均して破壊荷重 Q の値の10%とみなししき。

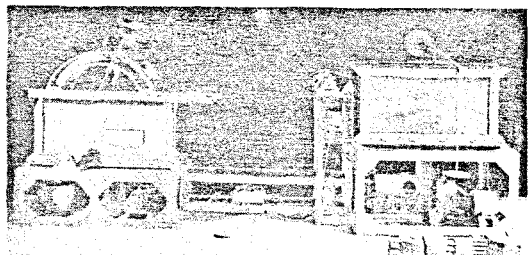


写真-1

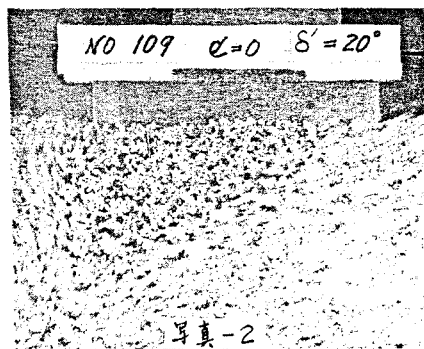


写真-2

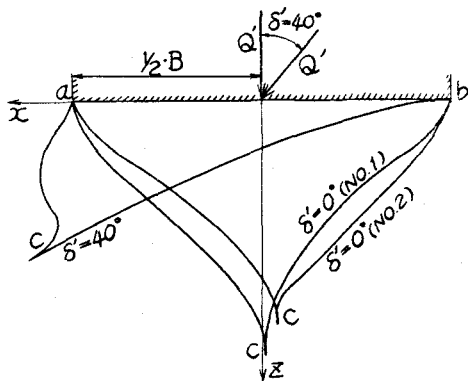


図-1. $e = 0$ $B = 10\text{cm}$

上述の補正を行なってえられた実測値の結果の一部を示すと図-2のようになります。分力方式から求めたQの値と、合力方式から求めたそれとは測定の散乱する範囲内で一致する。

3. 実測値と二、三の支持力算定法による計算値との比較

Meyerhofの支持力式およびHansenの半実験式から計算した値との比較が前に発表してある。^{1), 2)} これらは実測値よりはかかるに小さな値を示す。

今回はSokolovskiによって発展させられた塑性論から導かれた支持力算定法によつて $\gamma = 0$ で計算した値、およびGolushkevichによって提案された近似解法(固解法)によつて求めた値と実測値との比較を行なつた。

(1) Sokolovskiの支持力算定法において、土の単位体積重量 $\gamma = 0$ として計算を行なつた場合にえられる値との比較を行なつた。計算式は次式で示され、この場合電子計算機を用いて支持力を求めることができます。

$$q = p \frac{\sin \Delta, \sin(\Delta_2 + \delta_2)}{\sin \Delta_2 \sin(\Delta_1 - \delta_1)} e^{(\Delta_1 - \delta_1 + \Delta_2 + \delta_2 + \pi) \operatorname{tang} \varphi}$$

ここで、 $\Delta = \sin^{-1}(\sin \delta / \sin \varphi)$ 、 δ は換算傾斜角であり、下記号1は受働側、2は主働側の値をあらわす。qは求める換算支持力、pは押え盛土に相当するもので、これも換算荷重で与えられる。ここに換算荷重とは実荷重 $S_i \operatorname{cot} \varphi$ (S_i は強度のパラメーターである。これは後述する。)をベクトル的に加え合したもので、換算傾斜角度は換算荷重の傾斜角度である。(図-3)

今回の計算は $p = S_i \operatorname{cot} \varphi$ 、 $\delta_1 = 0$ として、 S_i 、 δ_2 を種々変化させてqを求めた。土の性格は、 $\varphi = 40^\circ$ 、 $\delta = 1.6^\circ/m^3$ として計算した。その結果は $e = 0$ の場合がえられ、図-1に実線で示す。

(2) 土の重量を考慮した場合(すなわち $\gamma \neq 0$ の場合)は上述のSokolovskiの計算法の他に、近似解法として、Golushkevichの固解法があり、これは土の重量を考慮した場合のすべり面の形状は土の重量を無視して求めても差し支えないという考え方から成り立っている。すなわち、図-4(a)に示すように、上載荷重が等分布である場合、すなわち $e = 0$ の場合(たゞ文傾斜していても)すべり面は直線に置きかえても差し支えない。このようにすべり面を求めると、極限平衡状態における支持力の算定は土楔の自重と土楔に作用する外力との釣合いかから求めることができる。(図-4(a), (b) 参照) すべて

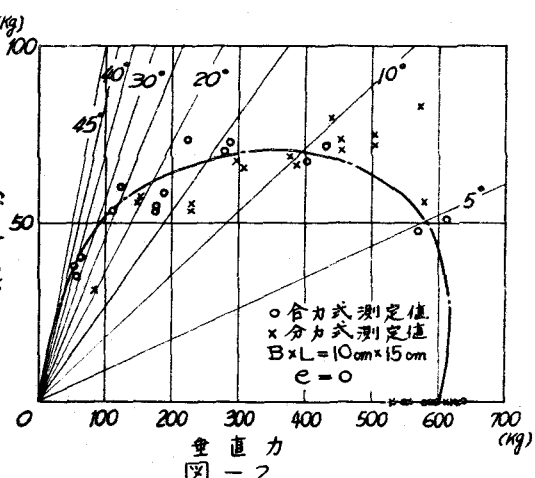
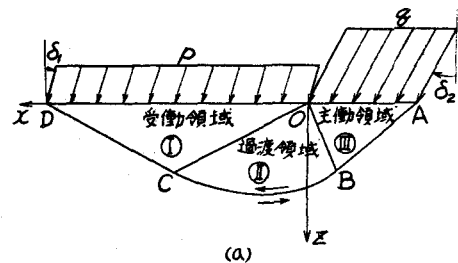


図-2



(a)

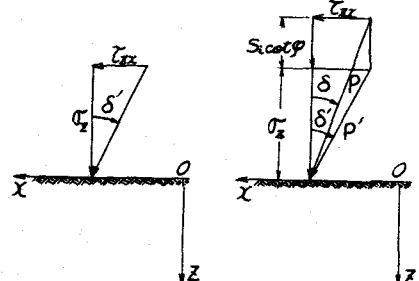


図-3

、応力と換算量を計算を行なう。

この場合も、押え盤土側の荷重は $P = S_i \cot \varphi$, $S_i = 0$ として、 S_i , S'_i を種々変化させ、支持力 Q' を求めた。土の性格は $\varphi = 40^\circ$, $\gamma = 1.6 \text{ t/m}^3$ を行なった。この結果は図-5に実線で示す。

5. 考察ならびに結語

図-5には、せん断強度切片 $S_i = 0.1$, 0.3 , 0.5 t/m^2 の場合に上述の(1), (2)で計算した値を示している。

$S_i^{(1)}$ とは、密接な粘着性のない土では低拘束圧でせん断強度と垂直圧力との関係が次式であらわされるような值をいう。

$$S = S_i + p \tan \varphi$$

ここで、 S はせん断強度、 S_i は $\gamma = 0$ のときのせん断強度切片、 p は破壊面の垂直圧力、 φ は内部摩擦角である。

図の一実線は実験から求めた値を示す。 γ を考慮した場合の値と γ を考慮しない場合の値との差は前者の方が後者よりも約10%程度大きいにすぎない。

また、実験値は載荷重の傾斜角が 0° において、 $S_i = 0.5 \text{ t/m}^2$ として計算した場合の値によく合っている。この S_i は三軸試験より決定された値で、 S_i を導入すれば $S'_i = 0$ のときの絶対値がよくあうといふことは注目に値する。密接な砂の場合に S_i の効果は大きい。しかしながら、実験値が、載荷重の傾斜角が 0° の場合を除いては計算値にあまり合わない。この原因としては、実験解析における側壁摩擦の算定に不十分なところがあつたためと思われる。

参考文献

- i). 市原, 伊藤; 偏心傾斜荷重による基礎地盤の支持力, 土木学会年次学術講演会, 昭42年
- ii). 市原, 伊藤, 寺本; 壁体構造物のすべり出し抵抗, 土木学会中部支部研究発表会, 昭41年
- iii). Sokolovski, 星埜, 佐藤訳; 土のすきな粒状体の力学, オーム社
- iv). M.E.Harr; Foundation of theoretical Soil Mechanics, McGRAW-HILL
- v). H.B.Seed, R.E.Goodman; Earthquake Stability of Slopes of Cohesionless Soils, Journal of the Soil Mech. and Found. Division, ASCE, Vol. 90, No. SM6, Proc. Paper 4128, November, 1964

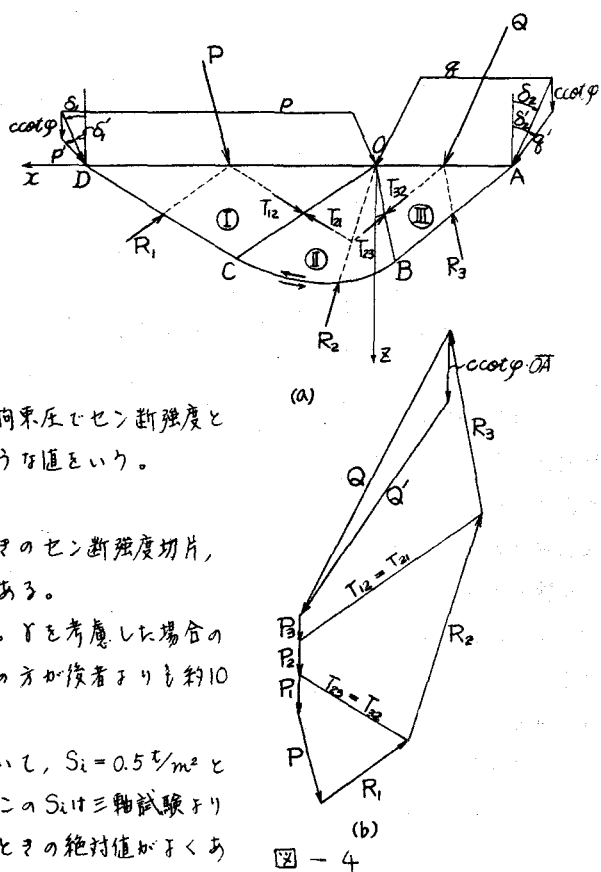


図-4

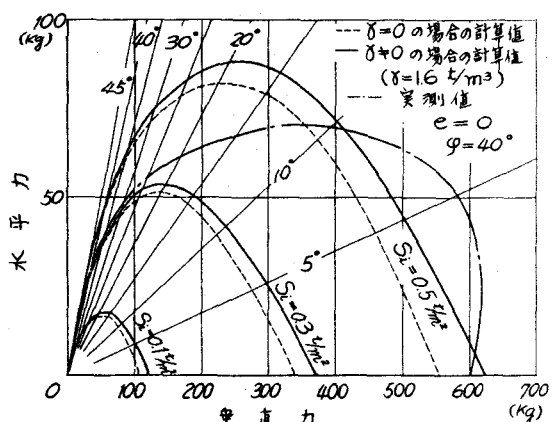


図-5